

*Mérési jegyzőkönyv:*

# Mössbauer-effektus vizsgálata

Rakya Péter

mérőtársak: Mezei Márk és Pósfai Márton

mérés időpontja: 2007. május 3.  
leadás időpontja: 2007. május 17.

*Mérésvezető:*  
Veres Gábor



## 1. Bevezetés

Vad viharok dúltak Skócia keleti partjainál. A jáki templom méretével vetekedő hullámok ostromolták az évezredes sziklafalakat. Riadt sirályok húzódtak a kövek közti repedésekbe. Becsukták szemüket, és minden erejükkel a vidám tavaszi kergetődzéseikre, kiváló szardínia fogásaikra gondoltak. Furcsa játéka a sorsnak, hogy ezzel egyidőben és ettől teljesen függetlenül három fiatal fizikusjelölt egy Duna-parti pincében ismerkedett a Mössbauer-effektussal!

A gyakorlatban nagyon elterjedt, hogy az atomok vagy atommagok energianívói közötti átmeneteket elektromágneses térrel gerjesztjük. Fotonok abszorpciója és emissziója során a kezdeti és végállapot energiájának különbsége azonos mindkét esetben, azonban a folyamatokban résztvevő fotonok energiája már különböző lehet. Ennek az az oka, hogy az impulzus megmaradása miatt a hátramaradó atom (atommag) is elvesz bizonyos mértékű energiát a kinetikus energiájának fedezésére. A magfizikai jelenségeknél az emittálódott foton energiája már olyannyira különbözik az átmenet energiájától, hogy még a természetes vonalszélessége sem elég nagy ahhoz, hogy egy másik magot tudjon gerjeszteni ugyanilyen átmenettel. Az abszorbeálódást a vonalszélesség növelésével lehet gerjeszteni. Az egyik módszer során kinetikus mozgatjuk a fotonokat kibocsátó anyagot. A mozgatás a fotonok Doppler-eltolódását eredményezi. Ez az effektus annyira megnöveli a vonalszélességet, hogy a foton már el tud nyelődni. A mérés során éppen ezt az elvet használjuk majd.

## 2. Mérési elrendezés

A mérés során különböző anyagok Mössbauer-spektrumát vettük fel. A módszer nagyon egyszerű volt: a fotonokat emittáló forrást egy hangfal segítségével mozgatjuk. Ezeknek a fotonoknak egy része elnyelődik az általunk vizsgált mintában (abszorbens). Az átjutó fotonokat egy proporcionális számlálóval detektáljuk. A számláló jelét egy számítógép sokcsatornás analizátorára vezetjük különböző egyéb eszközök beiktatásával, melyek szerepét a következőkben tisztázzuk. Végeredményként tehát az abszorbensen átjutó fotonok spektrumát kapjuk, ez a Mössbauer-spektrum. A forrást mozgató hangfal a forrást  $T = 41,2 \pm 0,2 \text{ ms}$  periódusidővel mozgatja állandó abszolút értékű gyorsulással. A minta sebessége az idő függvényében így egy háromszögjel lesz. Ez azért célszerű, mert mivel a Doppler-eltolódás a sebességgel arányos:

$$\Delta E = E \frac{v}{c},$$

ezért a kibocsátott foton energiája arányos lesz az idővel. A sokcsatornás analizátor csatornáit az idő szerint osztályozzuk, így eredményül a csatornaszám és a foton energiája között lineáris összefüggést kapunk.

A proporcionális számláló kisebb energiás fotonokra érzékeny (ekkor nagy a hatáskeresztmetszete a fotoeffektusnak), ezért forrásnak a hosszú felezési idejű  $^{57}\text{Co}$ -ot használunk. Az egyes atomok egy elektron befogás után  $^{57}\text{Fe}$ -vé alakulnak, melyek legerjesztődésük során 91% valószínűséggel egy 14,4 keV energiájú fotont bocsátanak ki. A többi kibocsátott nagyenergiás fotont (13 keV és 122,6 keV) a proporcionális számláló lenyegében nem érzékeli. A forrás mellett szól az is, hogy a gerjesztett  $^{57}\text{Fe}$ -nak elég nagy az átlagos élettartama, ezért a kibocsátott foton természetes vonalszélessége kicsi. Így biztosak lehetünk abban, hogy az idővel skálázott csatornákhöz rendelt energiértékek jól megfelelnek majd a valóságnak. A számláló jelét egy erősítőn keresztül

egy diszkriminátorra vezetjük, mellyel kiszűrhetjük a 14,4 keV energiájú fotonok jelét. A diszkriminátor tehát fontos alkotóeleme a berendezésnek, a munkát ennek a beállításával kezdtük: két hitelesített fóliát használtunk melyek közül

- az egyik a 14,4 keV energiánál nagyobb energiájú fotonokat engedte át,
- a másik pedig a 14,4 keV és nagyobb energiájú fotonokat.

A fóliákat használva azonosítottuk a forrás spektrumában a 14,4 keV-es csúcsot, majd a diszkriminátor paramétereit úgy állítottuk be, hogy lényegében csak ezt a tartományt engedje tovább. Miután beállítottuk a diszkriminátort, a munkát a tényleges minták spektrumának kimérésével folytattuk. A spektrumokat helyben egy számítógépes szoftverrel értékeltük ki. Mivel a forrás a mozgása során egy perióduson belül kétszer veszi fel ugyanazt a sebességet (és a fotonok energiája a sebességgel lineáris kapcsolatban van), a spektrumunk szimmetrikus lesz. Megkeresve a spektrum szimmetriatengelyét az adatsort minden esetben összehajtottuk. Ezzel az eljárással nem csak nagy számú adatpotot kapunk, de egy másik effektust is kiküszöbölhetünk: a két időpontban, amikor a sebességek megegyeznek, a forrás különböző távolságokra van a mintától, azaz nem egyenlő térszögekben sugározza a mintát. Ezért minden időpillanatban más alapvonal (átlagos beütésszám) adódik. Az adatok összefésülésével ezt az effektust kiküszöbölhetjük ki, mert úgy tekinthetjük, hogy a forrás egy átlagos helyzetéből kibocsátott fotonokat mérjük, vagyis a spektrumban kiegyenesedik az alapvonal.

### 3. A csatornaszám-energiaérték függvény kalibrálása

Biztosítva a forrás lineáris sebesség-idő mozgását (ezt egy megfelelő elektronika biztosítja) a csatornaszám-energia összefüggés lineáris lesz. Mivel a mérés során energiakülönbségeket szeretnénk mérni, elegendő a lineáris kapcsolat deriváltját (az egyenes meredekségét) meghatározni. A kalibráláshoz a lágymas két legtávolábbi csúcsát használtuk fel: ezek távolsága „Doppler-sebességben„:  $d_v = 10,6162$  mm/s. A grafikonról leolvastuk ezen csúcsokhoz tartozó csatornaszámok különbségét is. Ez  $d_{ch} = 367,15 \pm 0,46$ -nak adódott. Az érték hibáját a programmal illesztett Lorentz görbék adatainak a szórásából kaptuk. Az egyenes meredeksége így könnyen adódik:

$$m = E \frac{d_v}{c \cdot d_{ch}} = (1,388 \pm 0,002) \cdot 10^{-9} \text{ eV}, \quad (1)$$

ahol  $E = 14,4$  keV az általunk használt fotonok energiája.

### 4. Izomér eltolódás

A mag energiaszintjeit kissé módosítja a mának az elektronfelhővel való elektrosztatikus kölcsönhatása. A kölcsönhatás mértéke jellemezhető a Mössbauer-spektrum vonásaival (csúcsok eltolódása), így következtethetünk a vizsgált minta szerkezetére vagy összetételére is. Ezt az eltolódást nevezük izomér eltolódásnak.

Az izomér eltolódást az acél és Na-nitroprusszid anyagokban lévő vasmagok energiaszintjeinek eltolódásán tanulmányoztuk. Az eltolódásokat a lágymas csúcsaitól számítjuk majd. Ennek

a spektrumában 6 csúcs van a Zeeman-felhasadás miatt. (A mágneses tér nagyrészt a belső térerősségtől származik.) A nívók eredeti helyét (mágneses tér nélkül) úgy becsülhetjük meg, hogy párokba állítjuk a 6 ekvidisztens csúcsot és az illesztett Lorentz-görbék csúcsainak helyét átlagoljuk az egyes párokra. Így három értéket kapunk, mely értékek átlagolásával kapjuk meg a Zeeman-eltolódás nélküli csúcs helyét. Az egyes értékek a jegyzőkönyv végén mellékelt adatsorban szerepelnek, a számolt nívóérték helye csatornaszámban pedig  $252,89(\pm 0,31)$ . A Na-nitroprusszid spektruma két csúcsból állt, a felhasadás nélküli nívóhelyet szintén átlagolással számítottuk ki. Acél esetében csak egy csúcsot mértünk, ennek a helyét az illesztett Lorentz-görbe paramétereiből határoztuk meg. A illesztési adatok a jegyzőkönyv végén mellékelt adatsorokban szerepelnek. Az eredményeket az alábbi táblázat szemlélteti:

minta	csatornaszám
lágymas	$252,89 \pm 0,31$
acél	$248,73 \pm 0,37$
Na-nitroprusszid	$243,91 \pm 0,18$

A táblázat adataiból számolt izomér eltolódások pedig:

- *acél*:  $IS_{ch} = 4,16 \pm 0,68$  csatorna, ami  $IS_E = (5,77 \pm 0,96)10^{-9}$  eV energiaeltolódást jelent.
- *Na-nitroprusszid*:  $IS_{ch} = 12,46 \pm 0,49$  csatorna, ami  $IS_E = (17,02 \pm 0,71)10^{-9}$  eV energiaeltolódást jelent.

## 5. Az élettartam és a minta effektív vastagságának meghatározása

Jegyzet alapján a valódi vonalszélességre az alábbi összefüggés érvényes:

$$\frac{\Gamma_{mert}}{\Gamma} = \frac{w_i T_A + T_F + 8}{4} - \frac{(w_i T_A + T_F)^2}{625}. \quad (2)$$

ahol  $T_A$  az abszorbens (esetünkben lágymas),  $T_F$  a forrás effektív vastagsága,  $w_i$  az egyes felhasadt vonalak relatív intenzitása ( $\sum w_i = 1$ ). Lágymas esetén a relatív intenzitások:

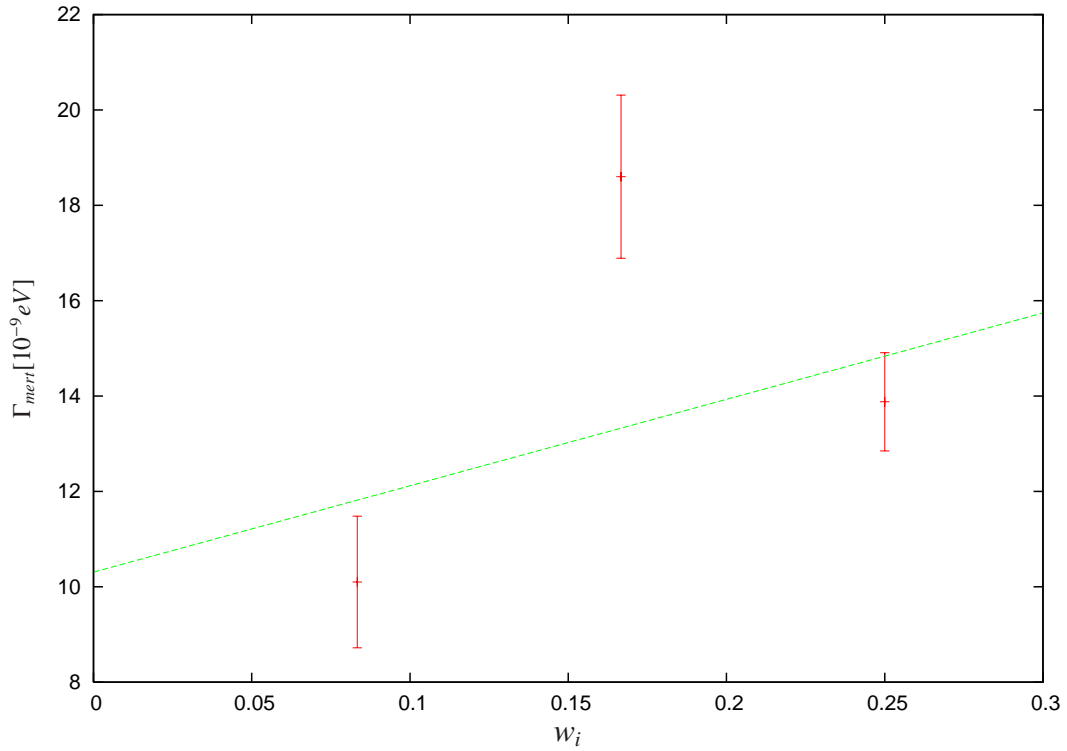
$$I_{\pm\frac{3}{2} \leftarrow \pm\frac{1}{2}} : I_{\pm\frac{1}{2} \leftarrow \pm\frac{1}{2}} : I_{\pm\frac{1}{2} \leftarrow \mp\frac{1}{2}} = 3 : 2 : 1, \quad (3)$$

ahol  $I_{m \leftarrow n}$  az  $n$  és  $m$  mágneses kvantumszámokkal jelölt állapotok átmenetéhez tartozó intenzitást jelöli. Az arányokból  $w_i = 1/12, 1/6, 1/4$  adódik. A jegyzet szerint a forrás effektív vastagsága  $T_F = 1,62$ . A (2) összefüggésben elhanyagolva a másodrendű tagot az alábbi lineáris összefüggés adódik:

$$\Gamma_{mert} = 2,4\Gamma + \frac{1}{4}T_A w_i \Gamma. \quad (4)$$

A mért értékeket az alábbi táblázat szemlélteti:

relatív intenzitás $w_i$	vonalszélesség csatornaszámban $\Gamma_{mert}[\text{ch}]$	vonalszélesség energiában $\Gamma_{mert}[10^{-9} \text{ eV}]$
1/12	$7,25(\pm 0,98)$	$10,1(\pm 1,38)$
1/6	$13,4(\pm 1,2)$	$18,6(\pm 1,71)$
1/4	$10,00(\pm 0,72)$	$13,88(\pm 1,03)$



1. ábra. A vonalszélességet meghatározó összefüggésre illesztett egyenes.

A (4) összefüggésre a táblázatbeli adatok segítségével egyenest illeszthetünk. Az illesztést az 1. ábra szemlélteti. Az illesztett paraméterek:

$$\frac{1}{4}T_A\Gamma = (18, 12 \pm 35) 10^{-9} \text{ eV} \quad 2, 4\Gamma = (10, 3 \pm 6, 5) 10^{-9} \text{ eV} \quad (5)$$

Az élettartamot és a vonalszélességet a  $\Gamma\tau = \hbar$  összefüggés kapcsolja össze. Így a nívó átlagos élettartama könnyen adódik:

$$\tau = (150 \pm 100) \text{ ns} \quad (6)$$

Az irodalmi érték  $\tau = 141,8 \text{ ns}$ . Ez nem tér el sokban a kapott élettartam várható értékétől, azonban tekintettel a nagy hibára a későbbiekben az irodalmi értéket használjuk majd. Ezzel az értékkel a vonalszélesség:  $\Gamma = 4,942 \cdot 10^{-9} \text{ eV}$ . Felhasználva ezt az értéket, kiszámolhatjuk az egyes minták effektív vastagságát. Lággyvas esetében ez éppen

$$T_{lv} = T_A = \frac{T_A\Gamma}{\Gamma} = 15 \pm 29. \quad (7)$$

Az acél effektív vastagságát az alábbi képlettel számolhatjuk ki:

$$T_{acel} = 4\frac{\Gamma_{mert}}{\Gamma} - T_F - 8 = 5,7 \pm 1,6, \quad (8)$$

ahol  $\Gamma$  értékét az illesztéssel számoltuk ki. Nem adtuk meg a Na-nitroprusszid effektív vastagságára kapott értéket, mivel az számolásaink során negatívnak adódott. A másodrendű tag elhanyagolása jogos, mivel a nagy nevező miatt csak a második tizedesjegyben változnának az eredményeink. A származtatott hibák azonban ennél lényegesen nagyobbak.

## 5.1. Elektromos térgradiens a Na-nitroprusszid mintában

A Na-nitroprusszid mintában az inhomogén elektromos tér és a mag kvadrupólus momentumának kölcsönhatása miatt felhasad a magnívó. A mérésleírás a kvadrupólusmomentura  $Q_{3/2} = 0,21 \cdot 10^{-28} m^2$  értéket tüntet fel. A felhasadás mértékét az alábbi összefüggés adja meg:

$$\Delta E = \frac{eQ}{4I(2I-1)} \frac{\partial^2 V}{\partial z^2} [3m_l^2 - I(I+1)] \left(1 + \frac{\eta^2}{3}\right)^{1/2}, \quad (9)$$

ahol  $e$  az elemi töltés,  $I$  a magnívó spinje,  $m_l$  a mag mágneses kvantumszáma,  $\eta$  pedig az aszimmetria faktor, mely axiális szimmetria esetén 0. Esetünkben a magspin  $I = 3/2$ . Ezért  $m_l$  lehetséges értékei:  $3/2, 1/2, -1/2, -3/2$ , azonban vegyük észre, hogy a felhasadást leíró képlet nem érzékeny a mágneses kvantumszám előjelére, így a nívó csak két részre hasad fel. Ezen két szint távolságát könnyen kiszámolhatjuk az előző képlet segítségével: a két felhasadt nívó egymástól való távolsága:

$$\Delta E = \frac{eQ}{4I(2I-1)} \frac{\partial^2 V}{\partial z^2} (3m_{l1}^2 - 3m_{l2}^2) = \frac{eQ}{2} \frac{\partial^2 V}{\partial z^2}, \quad (10)$$

ahol

$$m_{l1}^2 - m_{l2}^2 = \left(\frac{3}{2}\right)^2 - \left(\frac{1}{2}\right)^2.$$

Az illesztett Lorentz-görbék paramétereiből kiderül hogy a két csúcs csatornaszámban  $\Delta E = 60,84 \pm 0,36$  ch távolságra vannak. A kalibráció segítségével ezt átszámolhatjuk energia dimenziójú mennyiségre:

$$\Delta E = (84,5 \pm 0,62) 10^{-9} \text{ eV}. \quad (11)$$

A térgradienst a (10) egyenlet segítségével könnyen kiszámolhatjuk:

$$\boxed{\frac{\partial^2 V}{\partial z^2} = (8,05 \pm 0,06) 10^{21} \frac{\text{V}}{\text{m}^2}}. \quad (12)$$

Ezt az értéket összevethetjük a elektron okozta térgradienssel a H-atomban. Az elektron által keltett elektromos potenciál a mag helyén:

$$V = \frac{1}{4\pi\epsilon_0} \frac{e}{r} \quad (13)$$

A térgradienst kiszámolhatjuk a Coulomb-potenciál kétszeri deriválásával. A deriváltat az  $r_B = 5,29 \cdot 10^{-11}$  m Bohr-sugárnak megfelelő távolságban értékeljük ki. A térgradiens így:

$$\left. \frac{\partial^2 V}{\partial r^2} \right|_{r=r_B} = \frac{1}{2\pi\epsilon_0} \frac{e}{r_B^3} = 1,95 \cdot 10^{22} \frac{\text{V}}{\text{m}^2} \quad (14)$$

Ez lényegében azonos nagyságrendbe esik az általunk számolt értékkel. Ezt az egységet használva a térgradiens:

$$\frac{\partial^2 V}{\partial r^2} = 0,41 \left. \frac{\partial^2 V}{\partial r^2} \right|_{\text{Bohr}}$$

## 5.2. A lágyvas Zeeman-felhasadása

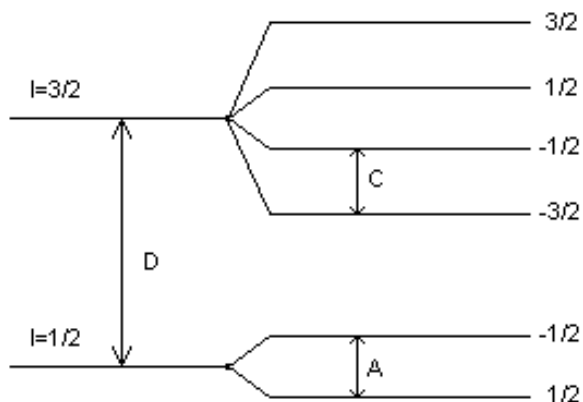
A Zeeman-felhasadás elvileg a mágneses kvantumszám szerint degenerált nívók ekvidisztns felhasadás eredményezi az alábbi összefüggés szerint:

$$\Delta E_m = -\frac{m_I}{I}\mu_I B, \quad (15)$$

ahol  $I$  a mag spinje,  $m_I$  a mágneses kvantumszám,  $\mu_I$  az magállapot mágneses momentuma,  $B$  pedig a mágneses térerősség a mag helyén. Esetünkben a lágyvas mintán figyeltük meg ezt a felhasadást, melyet vázlatosan a 2. ábrán figyelhetünk meg. Az egyes átmeneteket a Mössbauer-spektrum csúcsainak nagyságából, vagyis az intenzitások arányából tudjuk azonosítani. A mérésleírás alapján az intenzitásarányok ugyanis becsülhetőek az alábbi módon:

$$I_{\pm\frac{3}{2} \leftarrow \pm\frac{1}{2}} : I_{\pm\frac{1}{2} \leftarrow \pm\frac{1}{2}} : I_{\pm\frac{1}{2} \leftarrow \mp\frac{1}{2}} = 3 : 2 : 1. \quad (16)$$

Az egyes átmeneteket és a hozzájuk tartozó, spektrumból leolvasott energiakülönbségeket az



2. ábra. A Zeeman-felhasadás lágyvas esetén

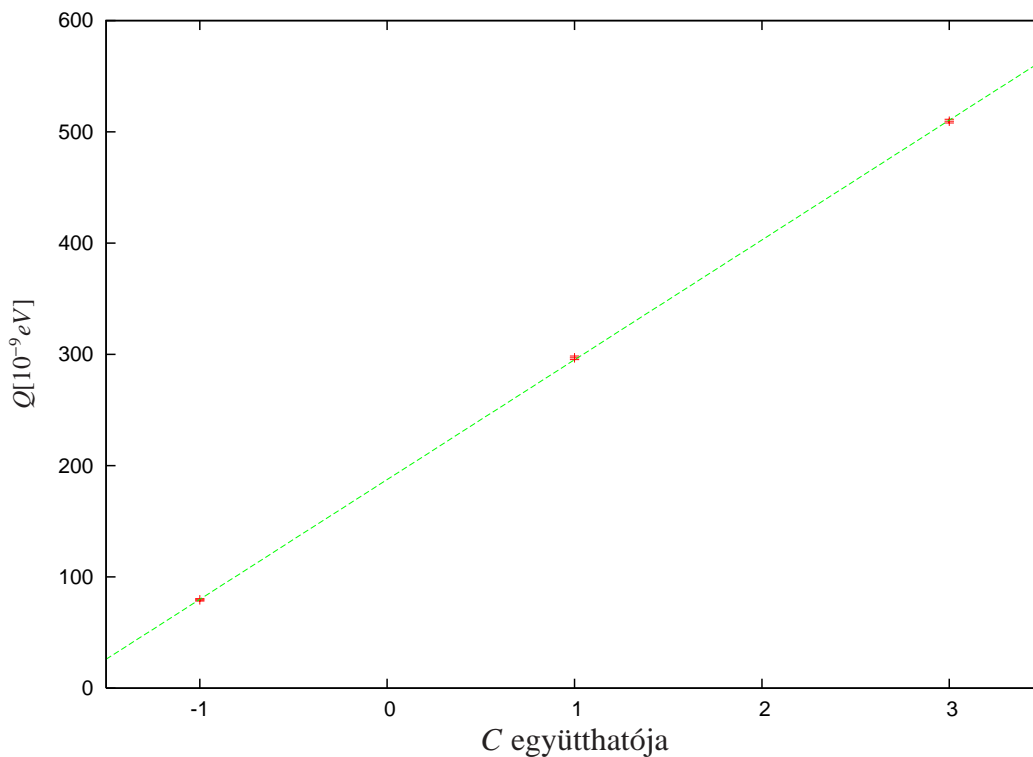
alábbi táblázat szemlélteti:

átmenet	csatornatávolság $\Delta E$ [ch]	energiatávolság $\Delta E$ [ $10^{-9}$ eV]
$\pm\frac{3}{2} \leftarrow \pm\frac{1}{2} : \Delta E_1 = A + 3C$	367, 15( $\pm 0, 46$ )	509, 60( $\pm 1.66$ )
$\pm\frac{1}{2} \leftarrow \pm\frac{1}{2} : \Delta E_2 = A + C$	213, 88( $\pm 0, 75$ )	296, 87( $\pm 1.63$ )
$\pm\frac{1}{2} \leftarrow \mp\frac{1}{2} : \Delta E_3 = A - C$	57, 21( $\pm 0, 66$ )	79, 41( $\pm 1.07$ )

A gyakorlaton megbeszéltek alapján a meghatározott energiaeltolódásokat ábrázolva  $C$  együtt-hatójának függvényeként egy egyenes adódik. Ezen egyenes illesztési paraméterei meghatározzák az  $A$  és  $C$  energiakülönbségeket. Az illesztés a 3. ábrán figyelhető meg. Eredményül

$$A = (187, 46 \pm 1, 00)10^{-9} \text{ eV} \quad C = (107, 68 \pm 0, 60)10^{-9} \text{ eV} \quad (17)$$





3. ábra. A és C meghatározása egyenes illesztéssel

adódik. A megszerzett eredmények segítségével kiszámolhatjuk a mag  $I = 3.2$  gerjesztett állapotában a mágneses momentumot. Ehhez felhasználjuk, hogy alapállapotban a mágneses momentum  $\mu_{1/2} = 0,090604 \mu_N$ , ahol  $\mu_N = 3,15238 \cdot 10^{-11} \frac{\text{keV}}{\text{T}}$ . A Zeeman-felhasadás képletéből az egyes felhasadt (ekvidisztens) nívók távolságai egymástól:

- alapállapotban ( $I_{1/2} = 1/2$ ):

$$\Delta E = \frac{\mu_{1/2} B}{I_{1/2}} = A$$

- míg gerjesztett állapotban: ( $I_{3/2} = 3/2$ ):

$$\Delta E = \frac{\mu_{3/2} B}{I_{3/2}} = -C$$

A két összefüggést elosztva egymással:

$$\boxed{\mu_{3/2} = -\frac{I_{3/2} C}{I_{1/2} A} \mu_{1/2} = -(4,922 \pm 0,054) 10^{-12} \frac{\text{keV}}{\text{T}}} \quad (18)$$

adódik. Végül kiszámolhatjuk a mag helyén lévő effektív mágneses indukciót:

$$B = \frac{I_{1/2} A}{\mu_{1/2}} \quad (19)$$

Ez számszerűleg:

$$B = (32, 82 \pm 0, 18) \text{ T} \quad (20)$$

Ezt az értéket összevetjük az elektron által keltett mágneses indukcióval a H-atomban. Az indukciót Biot-Savart törvénnyel tudjuk kiszámolni, hiszen az elektront körvezetőként modellezve nem nehéz elvégezni az integrálást: egy körvezető által keltett mágneses indukció a vezető középpontjában:

$$B = \mu_0 \frac{I}{2r} \quad (21)$$

Az elektron által képviselt áram:

$$I = \frac{e}{2\pi r_B / v}, \quad (22)$$

ahol  $r_B$  a Bohr-sugár, és  $v$  a keringési sebesség:

$$v = \frac{\hbar}{m_e r_B} \quad (23)$$

A képleteket egymásba helyettesítve:

$$B_{Bohr} = \frac{\mu_0 \hbar e}{m_e 4\pi r_B^3} \quad (24)$$

Behelyettesítve a numerikus értékeket:

$$B_{Bohr} = 12, 5 \text{ T} \quad (25)$$

adódik. Ezt az egységet használva, a lágyvas magjában az effektív mágneses indukció  $B \approx 2.63 B_{Bohr}$ .

## 6. A forrás legnagyobb kitérése

A mérési elrendezésről feltesszük, hogy a minta és forrás közti távolság (a hangszóró működése nélkül) nagyjából  $\sim 1$  cm. Lényeges lehet megvizsgálni a hangszóróval rezgetett forrás kitérésének viszonyát ehhez a távolsághoz. Ha ugyanis a kitérés összemérhető ezzel a távolsággal úgy az eddigi számolásokban a sugárzási térszög változását is fegyelembe kellene venni. A kitérést maximális értékét a sebesség-idő függvényből számíthatjuk ki:

$$v(t) = v_{max} \frac{T/4 - |t - T/4|}{T/4} \quad t \in \left( -\frac{T}{4}, \frac{3T}{4} \right), \quad (26)$$

ahol  $T = (41, 2 \pm 0, 2)$  ms, a periódusidő. A forrás a periódusidő negyedekor éri el a maximális kitérését. Szükségünk van a képletben szereplő  $v_{max}$  értékére. Ezt a mérés elején meghatározott energia-kalibráció segítségével kaphatjuk meg. Tudjuk hogy a  $T/4$  időpont a 256. csatornának felel meg. Ez meghatároz egy energiaértéket, melyet a sebességgel a Doppler-eltolódás kapcsol össze az alábbi módon:

$$\Delta E = E_0 \frac{v}{c} \quad \Rightarrow \quad v_{max} = c \frac{\Delta E(256)}{E_0}, \quad (27)$$

ahol  $\Delta E(256)$  a 256 csatornának megfelelő energiakülönbség,  $E_0 = 14,4$  keV az általunk vizsgált fotonok energiája. Behelyettesítve:

$$v_{max} = (7,40 \pm 0,01) \frac{\text{mm}}{\text{s}} \quad (28)$$

adódik. A kitérés maximuma ebből:

$$x_{max} = v(T/4) = (0,076 \pm 0,001) \text{ mm} \quad (29)$$

Ez a minta-forrás távolsághoz képest mindössze 1.5%-os ingadozást jelent, vagyis az eddigi számolásaink jogosak voltak.

## 6.1. Gravitációs vöröseltolódás mérése

A mérőműszerünkkel körülbelül 0.5 csatorna pontossággal lehet meghatározni az energiakülönbségeket. A kalibrációnk alapján ez  $10^{-13}$  keV-os felbontásnak felel meg. Ahhoz hogy egy foton legalább ekkora energiaváltozást szenvedjen a Föld gravitációs terében (a földön) legalább

$$\Delta h = \frac{\Delta E}{E_0} \frac{c^2}{g} \approx 60 \text{ m}$$

magasságot kell megtennie. A mérési idő növelésével finomíthatjuk a mérőműszerünk felbontását, ezért kisebb magasságok is elegendőek lehetnének a vöröseltolódás kimérésére. Figyelembe kell azonban vennünk, hogy a távolság növelésével a beütésszám is csökken ( $\sim 1/r^2$ ), vagyis a felbontóképességre fordított időmennyiség sokszorosát kellene mérnünk. Esetünkben a minta-forrás távolság megnövelése néhány 10 m -es távolságra ezt az időt legalább a milliószerosára emelné. Persze a mérőműszerek felépítése (detektornagyság, veszteségek) és a használt fotonok energiája változtathat ezen az értéken néhány faktorial, de lényegesen nem. Arra a következtetésre jutottunk tehát, hogy a gravitációs vöröseltolódás kimérése roppant nehéz feladat.